

中南大学数学院06级本科学位论文答辩

HVC中基于分形理论的受力和能量 传递模型研究

学生姓名：郭煜

指导教师：秦宣云

专业班级：应数0601

答辩时间：2010年6月5日

本论文的目录结构

第一章 绪论

第二章 金属粉末压制过程

第三章 正应力与粉末孔隙分形维数的关系

第四章 压制过程中力的分析

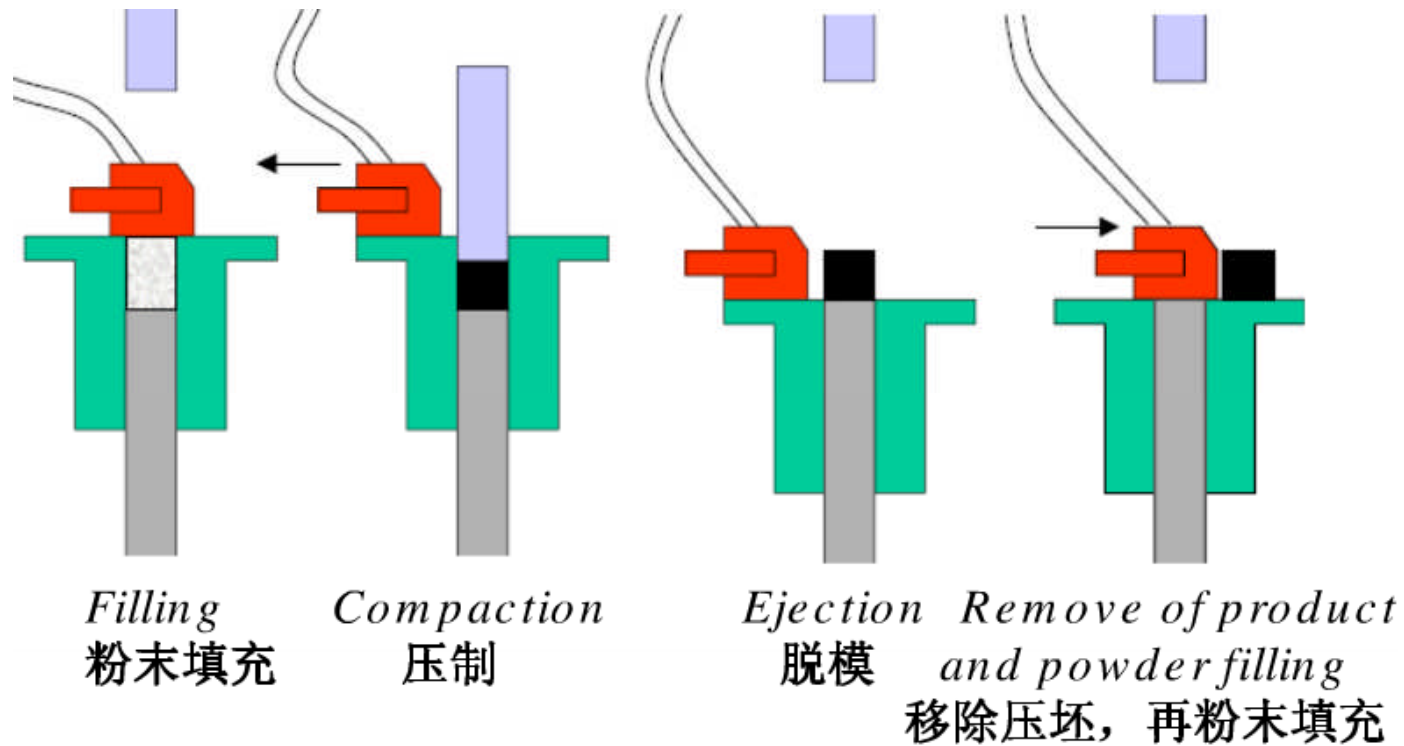
第五章 内摩擦原理

第六章 总结

背景介绍

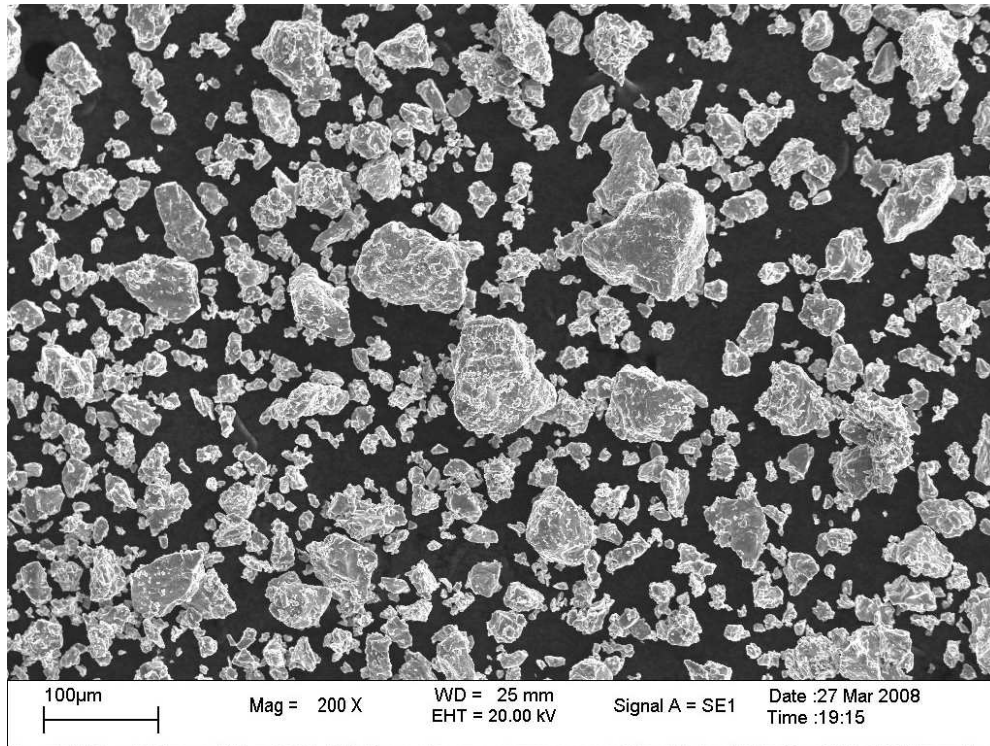
- 2001年6月，瑞典的Hoganas AB公司的Paul Skoglund提出了高速压制（High Velocity Compaction，简称HVC）技术。特点：高的压制速度，到达更高更均匀的密度，产品成本低性能好。
- 1973年，B.B.Mandelbrot首次提出了分维和分形几何的设想。从整体上看，分形几何图形是处处不规则的。在不同尺度上，图形的规则性又是相同的。分形维数一般大于其拓扑维数。

压制过程示意图



粉末体受力：正应力(压制压力)，轴向应力，下模冲击力，外摩擦力，内摩擦力，脱模压力[单位： N/m^2]

粉末散体空间结构特征



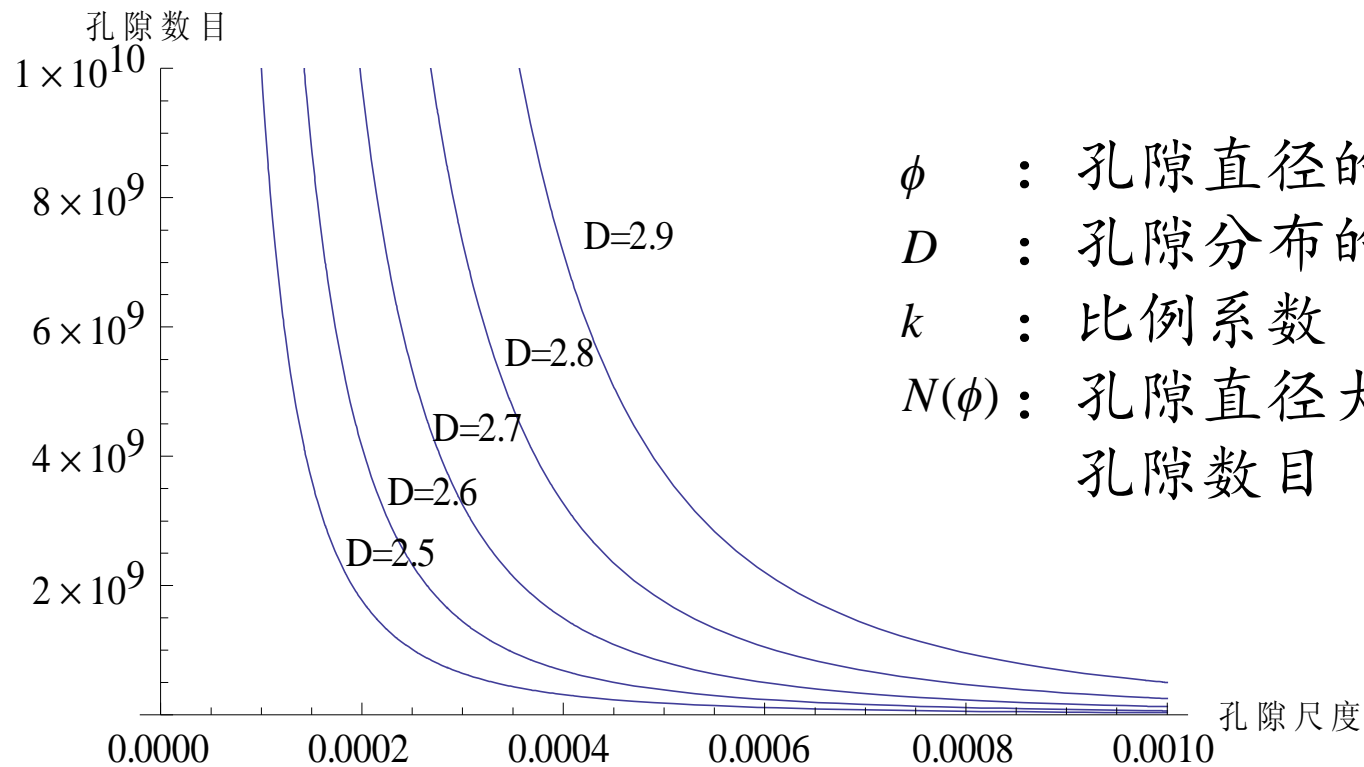
Ti粉末的微观结构：
亮色区为粉末颗粒
暗色区为孔隙(介质)
图中尺度0.1mm

孔隙具有体分形特性，粉末颗粒表面具有面分形特性
在压制过程中引入分形维数

第三章

3.1 孔隙数目与孔隙尺度

$$N(L > \phi) = k\phi^{-D}$$

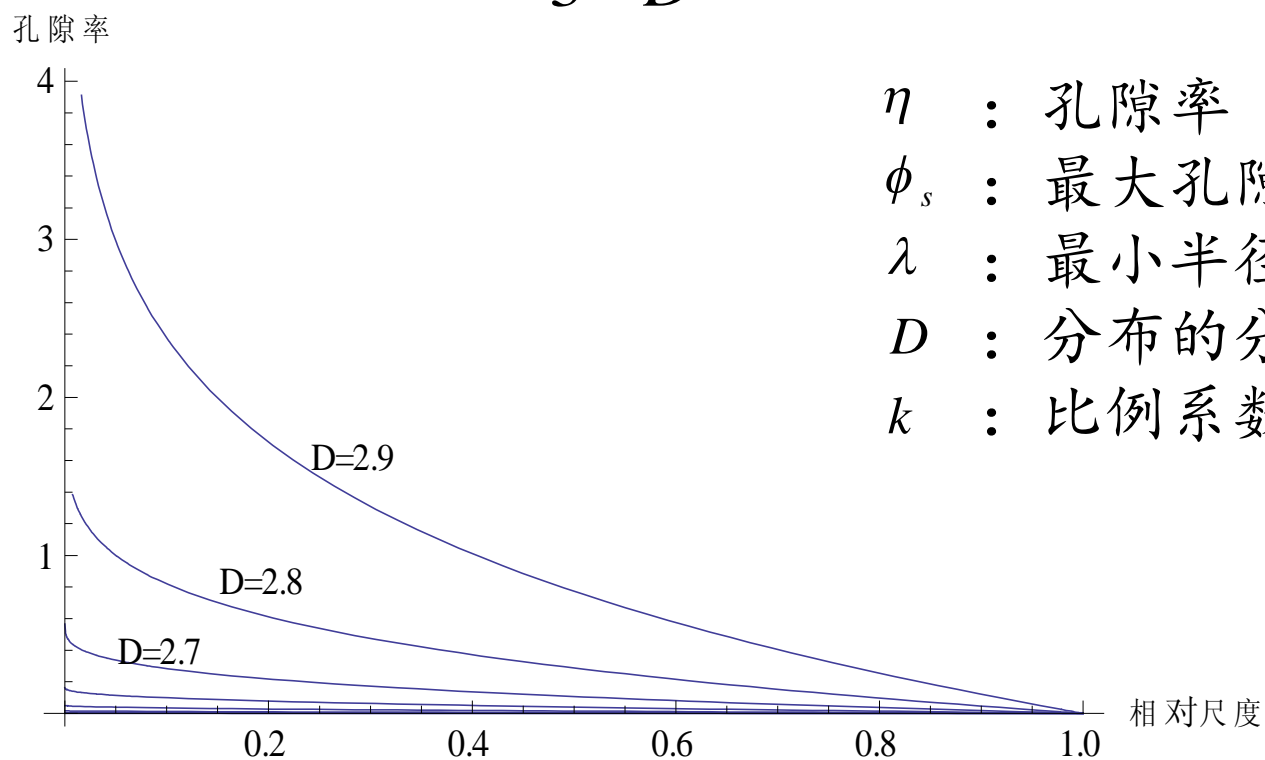


ϕ : 孔隙直径的测量尺度
 D : 孔隙分布的分形维数
 k : 比例系数
 $N(\phi)$: 孔隙直径大于尺度的
孔隙数目

第三章

3.1 孔隙率与孔隙相对尺度

$$\eta = \frac{kD}{3-D} \phi_s^{3-D} (1 - \lambda^{3-D})$$

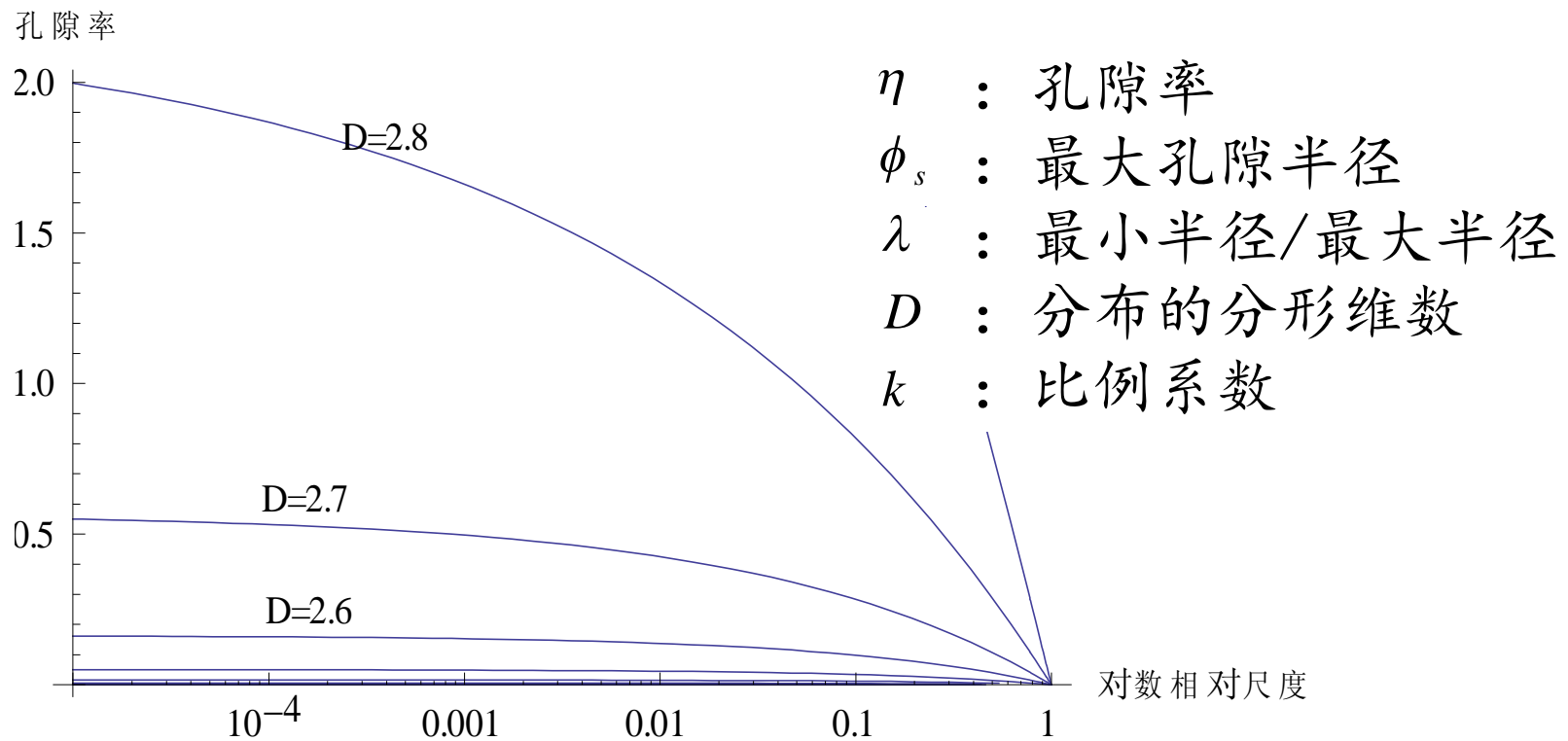


- η : 孔隙率
- ϕ_s : 最大孔隙半径
- λ : 最小半径/最大半径
- D : 分布的分形维数
- k : 比例系数

第三章

3.1 孔隙率与孔隙相对尺度

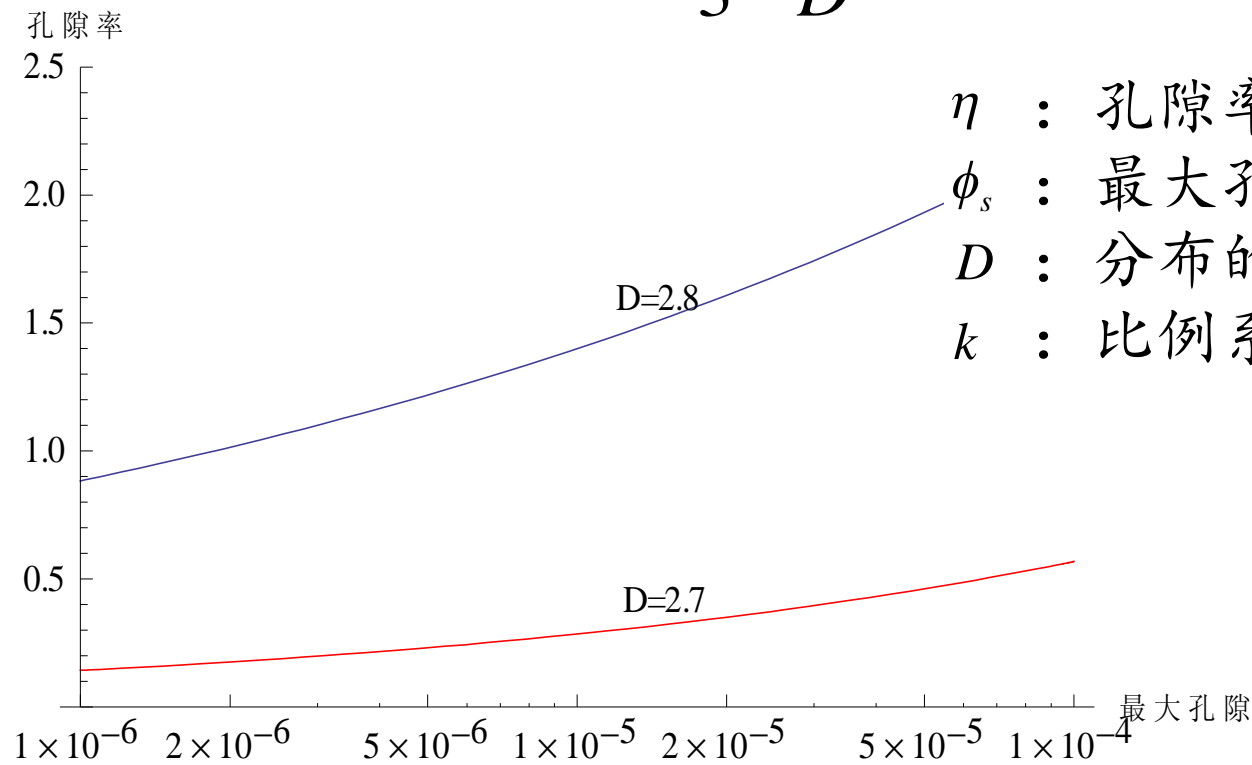
$$\eta = \frac{kD}{3-D} \phi_s^{3-D} (1 - \lambda^{3-D})$$



第三章

3.1 孔隙率与最大孔隙半径

$$\eta = \frac{kD}{3-D} \phi_s^{3-D}$$



η : 孔隙率

ϕ_s : 最大孔隙半径

D : 分布的分形维数

k : 比例系数

第三章 3.1 孔隙率与体积、密度的关系

通过孔隙体积，以及致密粉末的密度，建立压制前后粉末体的孔隙率与粉末表观体积、表观密度间的关系

$$V_m = \frac{1 - \eta_o}{1 - \eta_m} V_o$$

$$\rho_m = \frac{1 - \eta_m}{1 - \eta_o} \rho_o$$

η_o 、 η_m : 压制前后孔隙率

ρ_o 、 ρ_m : 压制前后密度

V_o 、 V_m : 压制前后体积

第三章 3.2 应力模型

通过胡克定律及弹性粘滞固体性质，考虑到应变弛豫和应力弛豫，建立应力的标准线性模型：

$$\sigma + \tau_1 \frac{d\sigma}{dt} = E \left(\varepsilon + \tau_2 \frac{d\varepsilon}{dt} \right)$$

考虑到粉末体的加工硬化，建立应力的标准线性模型：

$$\sigma + \tau_1 \frac{d\sigma}{dt} = E \left(\varepsilon + \tau_2 \frac{d\varepsilon}{dt} \right)^n \quad n > 1$$

σ : 应力

ε : 应变

E : 弹性模量

t : 压制时间

τ_1 : 应力弛豫时间

τ_2 : 应变弛豫时间

第三章 3.2 应力模型

应力分为正应力和剪应力。假设：a) 只存在沿着压制方向的正应力，剪应力为零；2) 压制过程充分弛豫。得到非线性正应力与应变模型：

$$\varepsilon = \left(\frac{p}{E}\right)^{1/n}$$

应用自然应变的概念，得到应变与体积的关系：

$$\varepsilon = \ln \frac{V_o - V}{V_m - V} = \ln \frac{(\rho - \rho_0)\rho_m}{(\rho - \rho_m)\rho_0} = \ln \frac{\eta_o(1 - \eta_m)}{\eta_m(1 - \eta_o)}$$

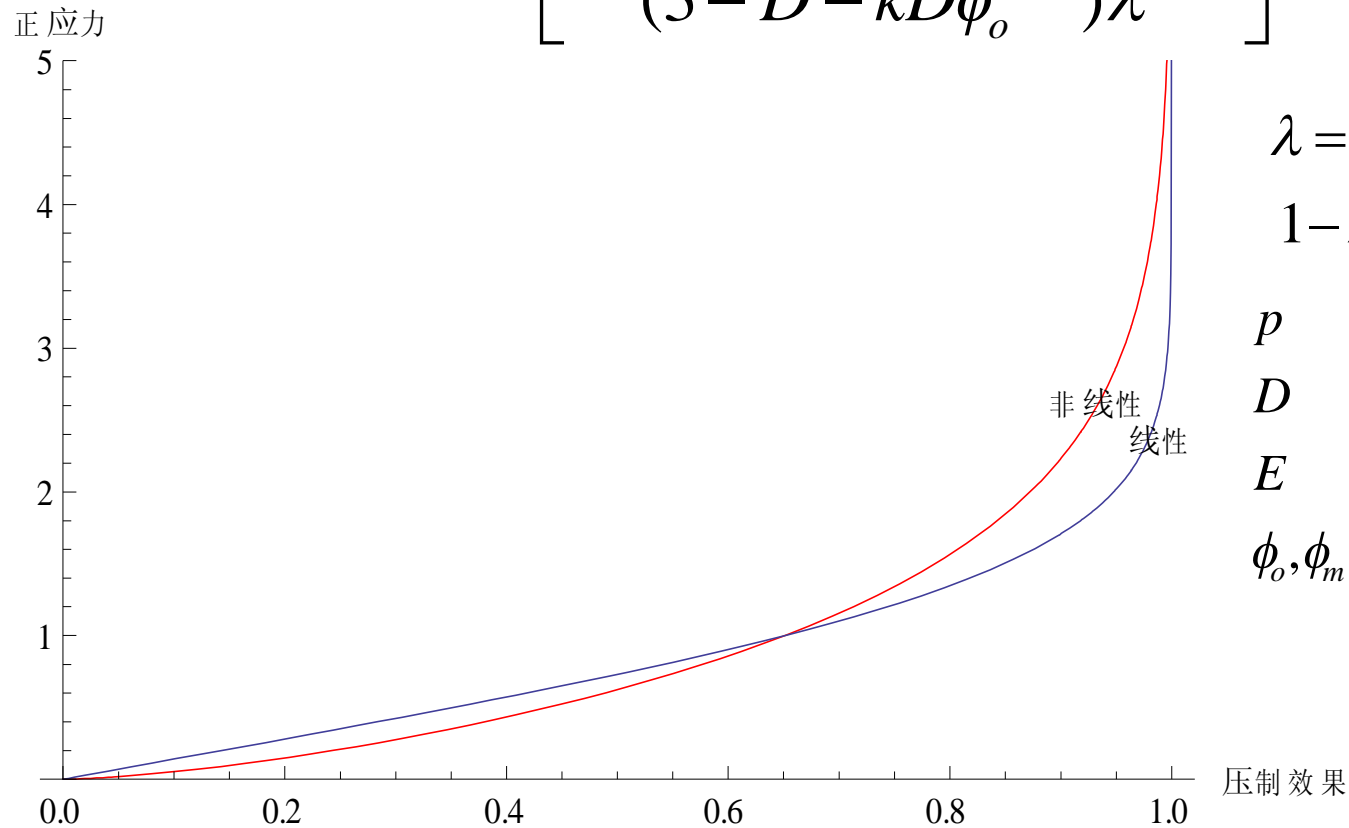
p : 正应力
 ε : 应变
 E : 弹性模量

V : 体积
 ρ : 密度
 η : 孔隙率

第三章

3.3 正应力与压制效果

$$p = E \left[\ln \frac{3 - D - kD\phi_o^{3-D} \lambda^{3-D}}{(3 - D - kD\phi_o^{3-D}) \lambda^{3-D}} \right]^n$$



$$\lambda = (\phi_o - \phi_m) / \phi_o$$

$$1 - \lambda = \phi_m / \phi_o$$

p : 正应力

D : 分形维数

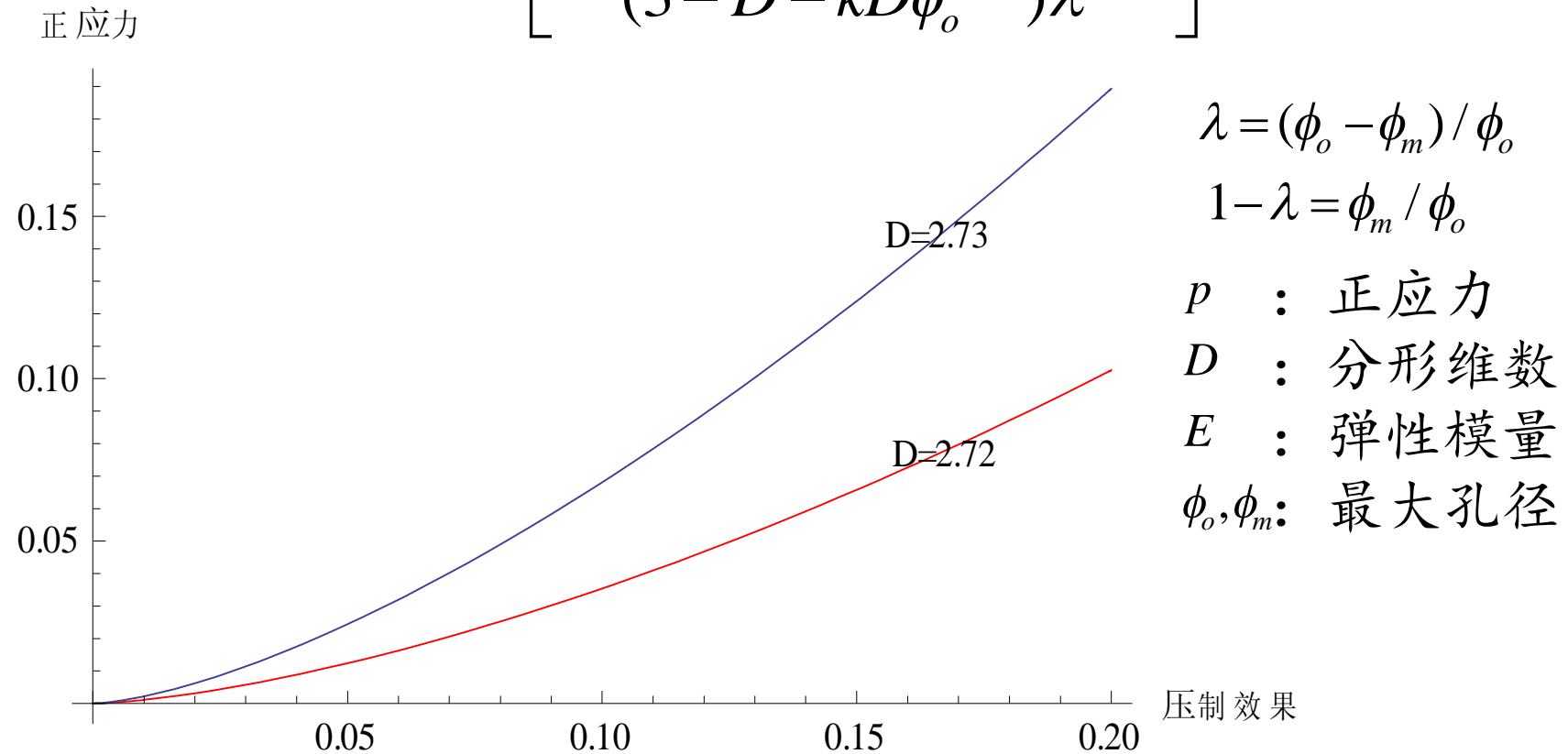
E : 弹性模量

ϕ_o, ϕ_m : 最大孔径

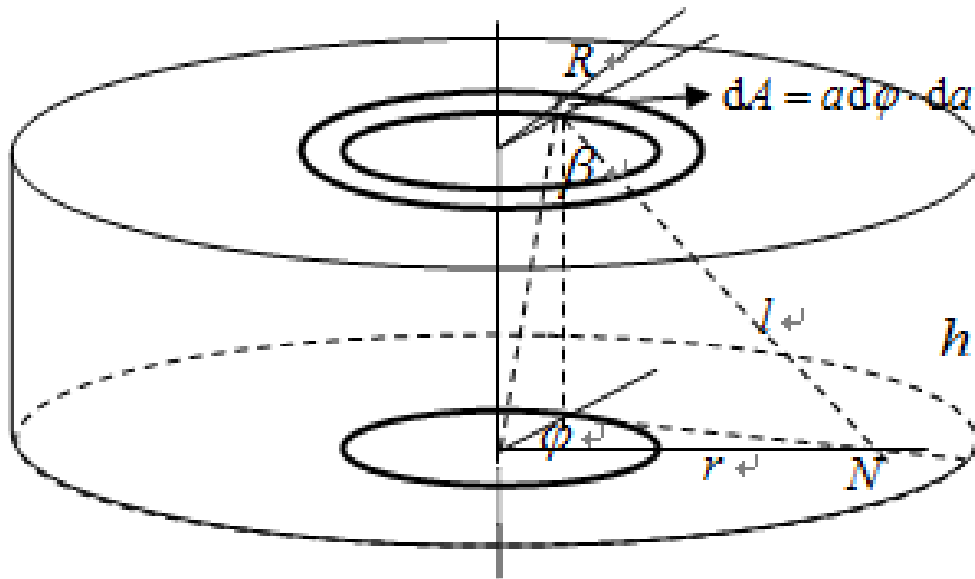
第三章

3.3 正应力与压制效果

$$p = E \left[\ln \frac{3 - D - kD\phi_o^{3-D} \lambda^{3-D}}{(3 - D - kD\phi_o^{3-D}) \lambda^{3-D}} \right]^n$$



第四章 4.1 轴向应力



圆柱体压坯
总高度H
半径R

作用于N点的垂直载荷：

$$\sigma_z = \frac{2}{3} \frac{p}{\pi R^2} \cos^3 \beta$$

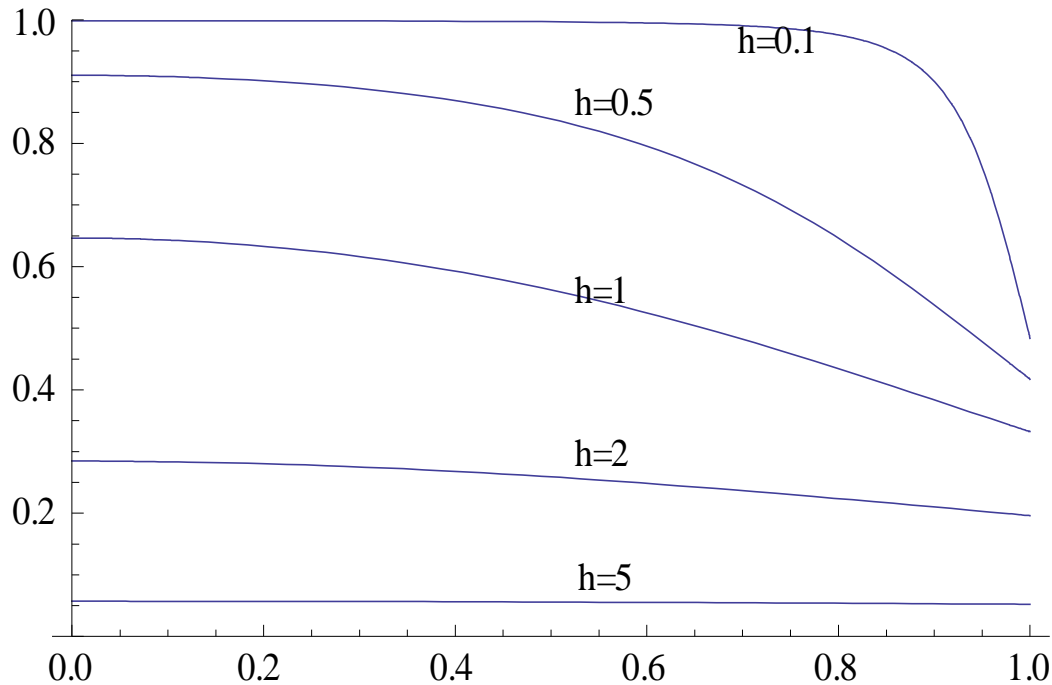
第四章 4.1 轴向应力

$$p_{hr} = \frac{3p}{2\pi} F(h, r)$$

$$F(h, r) = \int_0^R \int_0^{2\pi} \frac{ah^3}{(h^2 + r^2 + a^2 - 2ra \cos \varphi)^{5/2}} d\varphi da$$

轴向应力

正应力



p : 正应力
 h : 压坯深度
 r : 到中心轴距离
 p_{hr} : 轴向应力

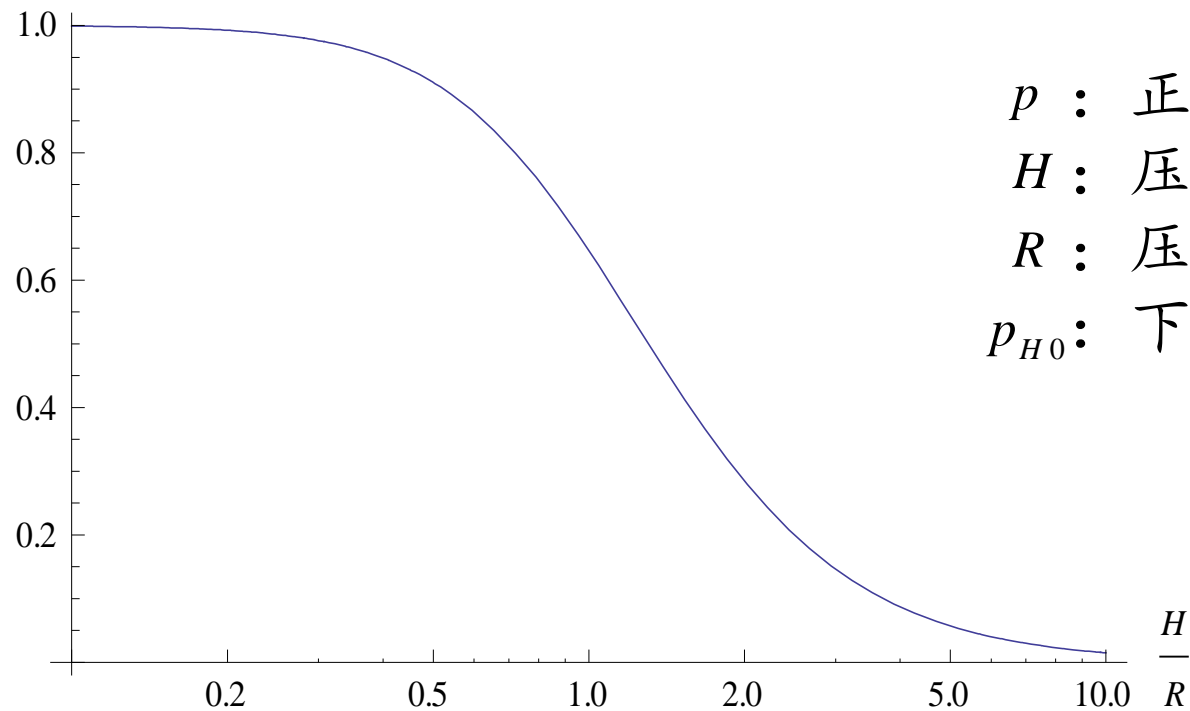
距轴线的距离

第四章 4.2 下模冲应力

$$p_{H0} = \frac{3p}{2\pi} F(H, 0) = p \left\{ 1 - \left[\frac{H/R}{\sqrt{1 + (H/R)^2}} \right]^3 \right\}$$

下冲模应力

正应力



p : 正应力
 H : 压坯高度
 R : 压坯半径
 p_{H0} : 下冲模中心应力

第四章

4.3修正的轴向应力

$$\hat{p}_{hr} = p_{hr} + p'_{hr}$$

$$p_{hr} = \frac{3p}{2\pi} F(h, r)$$

$$p'_{hr} = \frac{9p}{4\pi^2} \int_0^R \int_0^{2\pi} \frac{F(H, a)a(H-h)^3}{((H-h)^2 + r^2 + a^2 - 2ra \cos \varphi)^{5/2}} d\varphi da$$

$$F(h, r) = \int_0^R \int_0^{2\pi} \frac{ah^3}{(h^2 + r^2 + a^2 - 2ra \cos \varphi)^{5/2}} d\varphi da$$

\hat{p}_{hr} : 修正轴向应力

p : 正应力

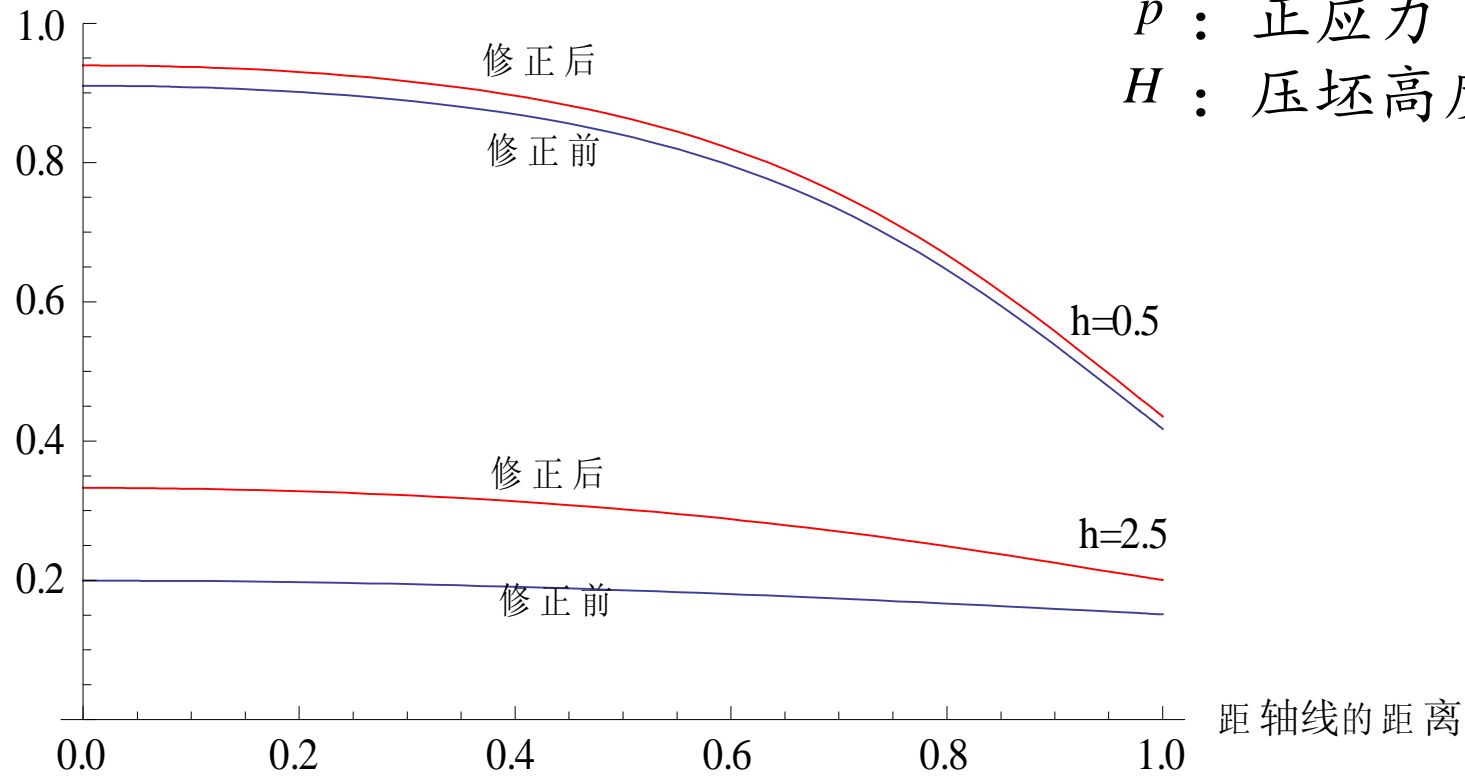
H : 压坯高度

第四章

4.3修正的轴向应力

轴向应力

正应力



\hat{p}_{hr} : 修正轴向应力

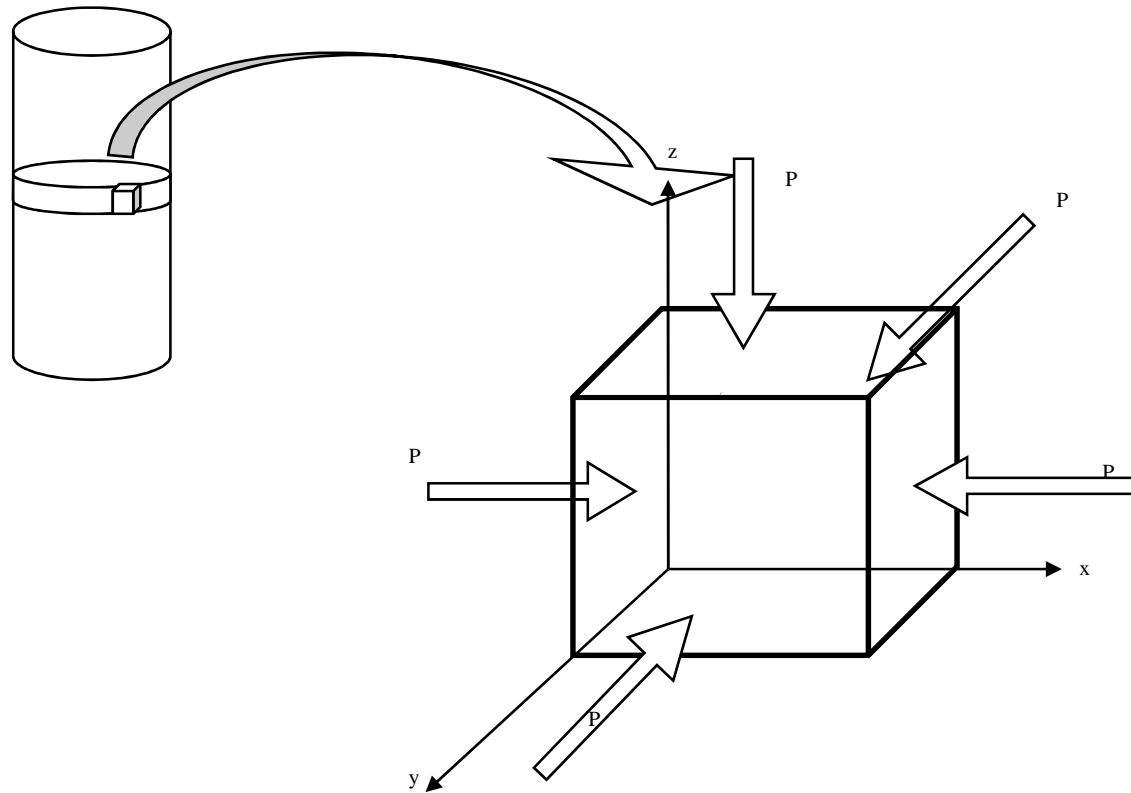
p : 正应力

H : 压坯高度

第四章

4.4 模壁压力和外摩擦力

通过各向同性的小立方体来推导水平侧压力与竖直压力的关系



第四章

4.4 模壁压力和外摩擦力

模壁压力与外摩擦力都与深度有关

$$p_{h\text{侧}} = \frac{3\nu p}{2\pi(1-\nu)} F(h, R)$$

$$p_{h\text{摩}} = \frac{3\mu\nu p}{2\pi(1-\nu)} F(h, R)$$

$$F(h, r) = \int_0^R \int_0^{2\pi} \frac{ah^3}{(h^2 + r^2 + a^2 - 2ra \cos \varphi)^{5/2}} d\varphi da$$

p : 正应力

μ : 动摩擦因素

ν : 泊松比

第五章

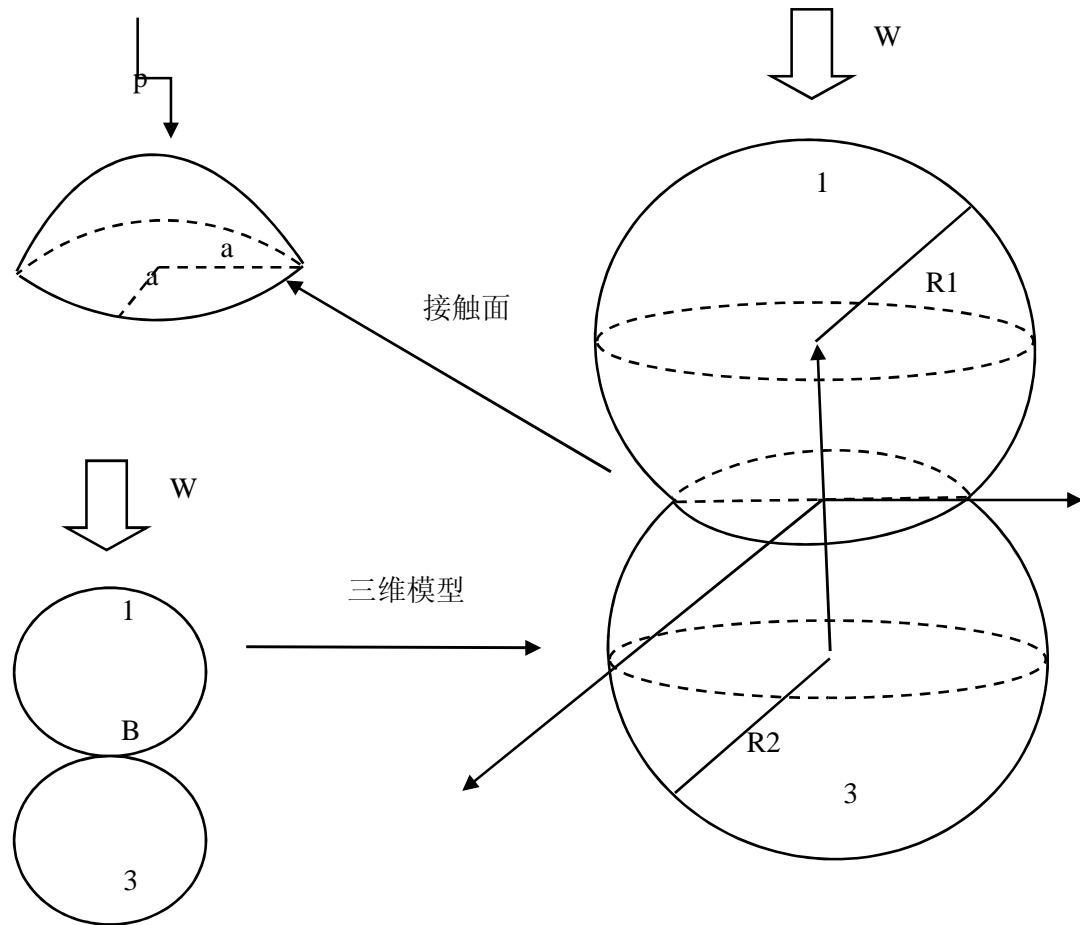
5.1 Herz 三维球形颗粒接触模型

$$a = \left(\frac{3WR}{4E}\right)^{1/3}$$

$$\delta = \left(\frac{9W^2}{16E^2R}\right)^{1/3}$$

$$W = \frac{4}{3}ER^{1/2}\delta^{3/2}$$

$$R = \frac{2R_1R_2}{|R_1 - R_2|}$$



第五章

5.1 Herz 三维球形颗粒接触模型

$$a = \left(\frac{3WR}{4E} \right)^{1/3}$$

$$\delta = \left(\frac{9W^2}{16E^2R} \right)^{1/3}$$

$$W = \frac{4}{3} ER^{1/2} \delta^{3/2}$$

$$R = \frac{2R_1R_2}{|R_1 - R_2|}$$

$$A_0 = \iint_S dS = \iint_D \sqrt{1 + z'_x + z'_y} dx dy = 2\pi R\delta$$

$$A = \pi ab = \pi R\delta = A_0 / 2$$

$$W = \frac{4E}{3\pi^{3/2}R} A^{3/2}$$

A : 真实接触面积

A_0 : 几何接触面积

δ : 法向接近量

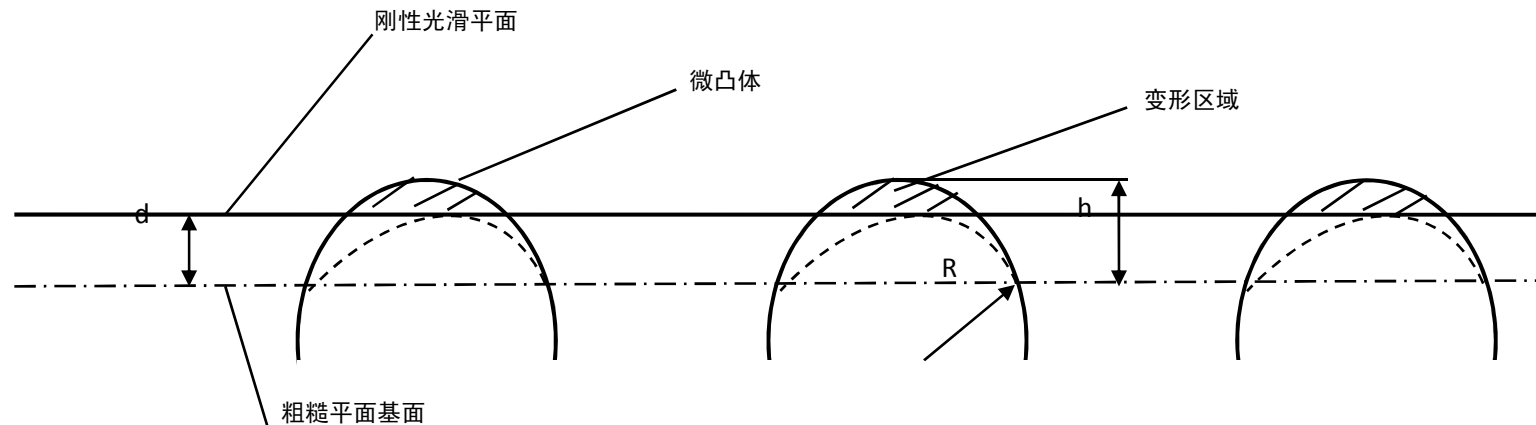
W : 载荷

R : 接触半径

E : 弹性模量

第五章 5.2理想粗糙表面

粉末颗粒表面有许多球形微凸体
 这些微凸体的接触可以看做前面的三维球形颗粒接触模型



$$W = \frac{4E}{3\pi^{3/2} n^{1/2} R} A^{3/2}$$

$$W = 2p_s A$$

A : 真实接触面积

n : 颗粒表面微凸体数目

p_s : 屈服应力

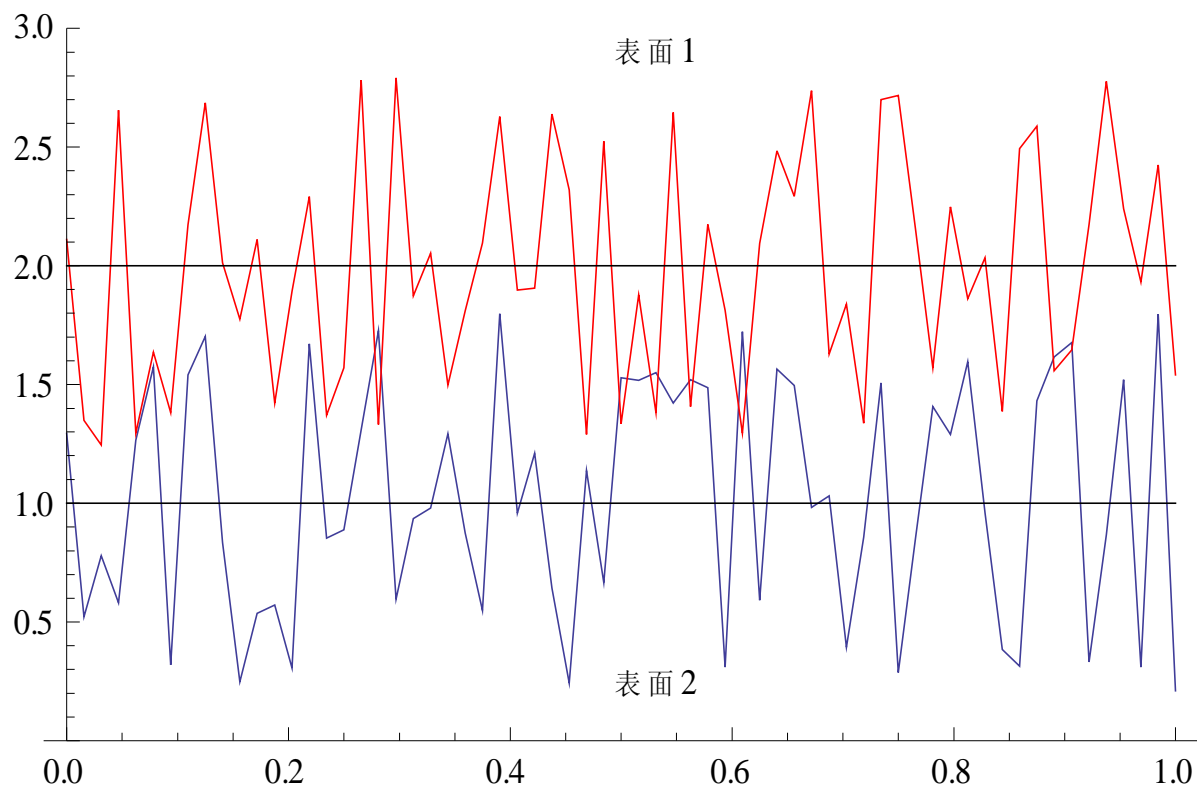
W : 载荷

R : 接触半径

E : 弹性模量

第五章 5.3 实际粗糙表面

随机微凸体峰顶曲率半径 $\rho(z)$ 均方值 σ_c
随机微凸体高度 $\varphi(z)$ σ



$$\sigma = c\tau^{2-D_f}$$

σ : 粗糙度
 D_f : 表面分维
 τ : 尺度

第五章 5.3 实际粗糙表面

用指数分布近似粗糙峰的高度分布 $\varphi(z) = \frac{1}{\sigma} e^{-\frac{z}{\sigma}}$

用Gauss分布近似峰顶半径分布 $\rho(r) = \frac{1}{\sigma_c \sqrt{2\pi}} e^{-\frac{r^2}{2\sigma_c^2}}$

弹性接触时，载荷与接触面积的关系 $W = \frac{2^{\frac{7}{4}} \Gamma(\frac{3}{4}) \sqrt{c} E \tau^{\frac{2-D_f}{2}}}{3\pi \sqrt{\sigma_c}} A$

塑性接触时，载荷与接触面积的关系 $W = p_s A$

总结与展望

本文主要做了三个工作：

- 推导了基于体分形维数的正应力与压制效果的关系
- 推导了轴向应力、下冲模应力、模壁摩擦力、外摩擦力与正应力的关系
- 推导了基于面分形维数的载荷与接触面积的关系

最大问题：

由于没有给出压制过程中热量的关系，所以只在文章最后给出了简单的内摩擦模型和能量模型，显然这样是不合理的。

结束

谢谢各位老师的指导！